

中微子伏特技术 NeutrinoVoltaic 的崛起及原理

-----由宇宙粒子至可持续电力的科学闭环



根据国际能源署的报告，2023 年全球仍有超过 7 亿人无法获得电力，尽管这一数字较 2022 年有所下降。太阳能、风能虽潜力巨大，但受间歇性限制，推广遇阻。可突破该限制的新型能源技术——中微子伏特技术 NeutrinoVoltaic，已完成实验室验证，正迈向工程化应用。12 月 5 日，位于中国江门地下 700 米处的江门中微子实验 (JUNO) 便取得了重大成果，其对太阳中微子振荡参数的测量精度相较于以往提升了 1.5-1.8 倍，误差仅 3%。这一进展不仅为地球环境中中微子通量提供了基准数据，还标志着中微子研究领域的一大步。其对中微子的研究不仅有望探索物质反物质不对称、宇宙起源等问题，还为中微子伏特技术 NeutrinoVoltaic 提供了坚实证据。该技术以中微子为核心能量来源，通过石墨烯 - 纳米硅多层异质结构，将宇宙中无处不在的不可见辐射转化为持续稳定的电能，拥有完整理论、严谨实验和精密材料设计，为解决能源危机、实现能源公平提供新可能。

一、理论基石：中微子的能量密码与 CEvNS 效应的量化机制

中微子伏特技术的崛起，首先源于对中微子物理特性的深度认知以及相干弹性中微子 - 核散射 (CEvNS) 效应的实验验证，如 COHERENT 实验所展示的那样。这种被称为“宇宙信使”的亚原子粒子，凭借其独特属性与可量化的相互作用机制，为能源利用奠定了坚实的物理基础。

(一) 中微子的三大核心特性：能源潜力的物理前提

中微子的能源价值源于其与生俱来的物理特性，这些特性经过数十年实验验证，构成了技术可行性的核心前提：

1. 持续稳定的通量供给：地球表面超过 90% 的中微子源自太阳的核聚变过程，每秒有约 650 万亿个中微子穿过每平方厘米区域，通量稳定在约 $3.5 \times 10^{12} \text{ cm}^{-2} \cdot \text{s}^{-1}$ 。太阳百亿年的稳定燃烧史，使其成为“永不枯竭的宇宙能量源”，且不受昼夜、季节、气候的任何影响；
2. 轻量却携带动量的本质：2015 年诺贝尔物理学奖的颁发，标志着中微子振荡现象的发现，这一发现证实了中微子具有质量。最新的科学研究将中微子质量的上限设定为 0.45 电子伏特 (eV)，远低于电子质量的百万分之一。但高速运动产生的动量为能量转换提供了关键物理基础。微观动量的持续累积，使宏观能量输出在理论上成为可能；
3. 具有强大穿透性：中微子能够穿透地球核心及各类天然材料，几乎不与物质发生相互作用，这一特性使其能够突破地理与环境限制，从根本上解决传统可再生能源的间歇性问题。

(二) CEvNS 效应：中微子能量传递的核心机制

中微子伏特技术的关键突破，在于捕获中微子通过 CEvNS 效应传递的动量。这一效应的核心是中微子与靶核整体进行弹性散射，散射振幅的相干叠加大幅提升了作用概率，让靶核获得可测量的动量与能量。其核心物理关系为 $\sigma \propto N^2 \cdot E^2$ (N 为靶核中子数， E 为中微子能量)，非标准相互作用 (NSI) 和倾斜散射等放大机制可进一步提升整体效率。其标准微分方程精准描述了这一过程：

$$\frac{d\sigma}{dE_r} = \frac{G_F^2}{4\pi} \cdot Q_W^2 \cdot M_N \left(1 - \frac{M_N \cdot E_r}{2E_\nu} \right) \cdot F(q)^2$$

其中，费米常数 G_F 、核弱电荷 Q_W ($Q_W \approx N - (1 - 4\sin^2\theta_W)Z$)、靶核质量 M_N 等参数均有明确取值，清晰描述了中微子能量 E 向靶核反冲能量 E_r 的转化关系。2017 年，美国 COHERENT 实验首次成功探测到中微子的相干散射过程，这一发现不仅证实了每次散射能量传递范围广泛，从电子伏特到千电子伏特，而且为后续的实验改进和数据发布奠定了基础。2025 年，CONUS + 实验在《自然》杂志上发表了一项突破性成果，首次测量出中微子的尺寸，发现其波包的空间范围至少达到 6.2 皮米，远大于原子核。这一发现颠覆了传统观念，因为中微子的尺寸比原子核大出 1000 多倍，这一结果不仅重塑了我们对微观世界基本粒子的认知，而且为超弦理论提供了新的证据。这一发现不仅颠覆了对中微子的传统认知，而且在 BeEST 实验中，科学家们通过核反应堆实验成功量化了中微子效应，并观测到中微子振荡现象。这一发现不

仅证实了中微子具有质量，而且与粒子物理标准模型高度吻合，尽管标准模型最初假设中微子是无质量的。这一发现不仅验证了中微子具有质量，还直接证实了中微子向物质传递能量的可测量性，正如大亚湾中微子实验所揭示的新振荡模式一样。

(三) 数学建模：舒巴特主方程与中微子伏特主公式的物理闭环



德国中微子能源集团 CEO 霍尔格 · 托尔斯滕 · 舒巴特 (Holger Thorsten Schubart) 自 2008 年起，作为核心数学家主导技术的理论基础构建与概念实现，他提出的主方程及后续推导的中微子伏特主公式，共同构成了能量转化的完整数学框架，每个参数均对应经实验室验证的物理现实：

1. Holger Thorsten Schubart 主方程

$$P(t) = \eta \int_V \Phi_{\text{amb}}(\mathbf{r}, t) \cdot \sigma_{\text{eff}}(E) dV$$

能量转换效率 η : 依托石墨烯 - 硅纳米异质结构的“压电 + 摩擦电 + 挠曲电”复合效应，12 层最优层叠结构的实验室测量值达 35%—42%。压电效应通过界面周期性形变产生电势差（理论贡献 70%），摩擦电效应利用高表面积促进电荷转移（理论贡献 20%），挠曲电效应通过弯曲形变引发极化（理论贡献 10%），三者协同作用，突破了单一机制的效率瓶颈。

有效环境通量 $\Phi_{\text{amb}}(\mathbf{r}, t)$: 整合太阳中微子（贡献 58%）、宇宙缪子（贡献 32%）、环境电磁波与热量（贡献 10%）的多源能量叠加模型，形成“此消彼长”的稳定输入网络。江门中微子实验 (JUNO) 通过精确测量太阳中微子与反应堆中微子的流

量数据，实现了 3% 的能量分辨率和 3% 的测量误差，为环境通量参数提供了权威实验依据。

有效相互作用截面 $\sigma_{\text{eff}}(E)$ ：描述通过硅的能级掺杂调控，中微子与靶核的作用概率得到显著提升，特别是在 0.1-10 MeV 能量范围内的太阳中微子响应效率提高了 3 倍。COHERENT 实验测得锗靶材在太阳中微子能量下的散射截面约为 10^{-4} cm^2 ，CONUS + 实验验证其与理论值偏差小于 5%。

体积积分 $\int v dV$ ：呼应纳米结构“高界面密度”设计，1 立方米活性材料可形成 $10^8 - 10^9$ 个/cm³ 的活性界面，有效作用体积相当于传统块体材料的 10^4 倍，实现“体积式发电”核心突破。

2. 中微子伏特技术 Holger Thorsten Schubart 主公式推导

基于能量转换全流程推导，形成核心主公式：

$$I_{\text{NV}} = \alpha \int \Phi_\nu(E) \cdot \sigma_{\text{CEvNS}}(E) \cdot \Delta p_{\nu \rightarrow N}(E) dE \\ + \beta \cdot \Phi_\mu \cdot \langle \Delta E_\mu \rangle \\ + \gamma \cdot \Phi_{\text{EM}} \cdot \eta_{\text{plasmon}} \\ + \delta \cdot \Phi_{\text{th}} \cdot k_B T$$

其中各参数定义如下：

- $\Phi_\nu(E)$ ：中微子通量密度
- $\sigma_{\text{CEvNS}}(E)$ ：相干弹性中微子 - 核散射截面
- $\Delta p_{\nu \rightarrow N}(E)$ ：动量传递量
- Φ_u : μ 子通量 ($\approx 100 \text{ m}^{-2}\text{s}^{-1}$)
- ΔE_u : μ 子平均能量沉积量
- Φ_{EM} : 环境电磁辐射通量
- η_{plasmon} : 等离子体耦合效率
- Φ_{th} : 热涨落通量
- $k_B T$: 热能

舒巴特强调：“我们并未改变物理学基本定律，而是在粒子物理、材料科学与工程数学之间，建立了可验证、可追溯的转换链条。”这一数学模型与物理机制的深度融合，标志着中微子伏特技术从感性认知阶段迈向理性量化阶段。

(四) 能量守恒的数学约束与认知澄清

1. 热力学第一定律的核心约束

针对技术中“纳米结构耦合放大”环节引发的“能量创造”误解，需要明确：放大效应本质是能量的高效整合，而非突破物理定律。对系统活性层，热力学第一定律的表达式为： $\frac{dU}{dt} = \sum P_{in} - P_{out} - P_{verlust}$

其中， $\frac{dU}{dt}$ 为系统内能变化率， $\sum P_{in} = P_{\text{微子}} + P_{\mu\text{子}} + P_{RF} + P_{th} + \hat{\epsilon}_i$ （中微子、宇宙 μ 子、电磁辐射、热波动等所有输入能量流总和）， P_{out} 为输出电功率， $P_{verlust}$ 为系统损耗功率。这一方程严格限定 $P_{out} \leq \sum P_{in}$ ，即输出功率永远无法超过输入总能量。

2. 两种一致性计数方式：规避参数混淆

为避免“能量不守恒”的误判，需对能量参数进行一致性定义：

• 局部计数法（单纳米结构）： $P_{out} = (P_{abs,site} \tilde{A} N_{eff}) \tilde{I}_{ph} \tilde{I}_j \leq \sum P_{in}$ ，其中 $P_{abs,site}$ 为单个纳米结构吸收功率， N_{eff} 为单位面积有效纳米结构数量 ($10^{14} - 10^{15} \text{ m}^{-2}$)， \tilde{I}_{ph} （共振 / 品质因数效率）、 \tilde{I}_j （整流 / 阻抗匹配效率）为无量纲因子 ($0 \leq \eta \leq 1$, Q 值可 > 1 但仅实现能量集中)；

面积计数法（单位平方米）： $P_{out} = P_{abs,area} \tilde{I}_{eff} \leq \sum P_{in}$ ，其中 $P_{abs,area}$ 为单位面积总吸收功率（已含所有纳米结构贡献）， \tilde{I}_{eff} 为综合效率，不可重复乘以 N_{eff}

3. 认知误区破解：为何“能量增多”是错觉？

能量集中而非创造：高 Q 值共振可使弥散的能量聚焦于少数模态，进而提升局部振幅或电压，而非增加总能量；

关于非线性转换的误解：整流过程是从对称微振动中提取直流分量，这属于能量形式的转换，而非创造；

输入能量遗漏：仅核算中微子单一来源时，易低估 $\sum P_{in}$ 导致“输出大于输入”的误判。

二、技术突破：纳米材料与能量转换的协同创新



中微子伏特技术的实验室验证成功，关键在于攻克两大核心难题：如何获得中微子传递的微弱动量，以及如何将无规则微观振动转化为定向电流。这两大突破的实现，依赖于通过化学气相沉积法 (CVD) 等方法制备的石墨烯 - 掺杂硅多层纳米材料的精密设计，以及石墨烯 / 二氧化硅纳米颗粒复合膜在增强离子迁移和渗透能转换方面的应用。

(一) 多层纳米材料：从“表面吸收”到“体积捕获”的结构革新

传统光伏技术仅能利用表面 $1\text{-}2\mu\text{m}$ 的吸收层，而中微子伏特技术采用 9-22 层交替堆叠的石墨烯 - N 型掺杂硅复合结构，将“二维表面吸收”升级为“三维体积捕获”，其中 12 层结构被证实为能效最优配置，每层材料各司其职、特性互补：

石墨烯层：作为“原子级能量接收天线”，具备最高电荷载流子迁移率 ($2\times 10^5 \text{ cm}^2/(\text{V}\cdot\text{s})$)，为二维材料，如石墨烯，具有极高的载流子迁移率（例如，室温下可达 15000 平方厘米/伏秒 ，是硅的 100 倍），亚纳米级响应速度和超大比表面积 ($2630\text{m}^2/\text{g}$)。这些材料能够与声子直接耦合并展示等离子体共振效应。它们的弯曲模式类似于纳米机电系统 (NEMS) 谐振器，具有高达 10^4 的品质因数 (Q 值)。二维碳晶格能够对中微子散射、缪子电离产生相干响应，将微小能量精准转化为 $10^{12}\text{-}10^{13} \text{ Hz}$ 的晶格振动（声子），从而最大化捕获弱相互作用传递的微弱信号。

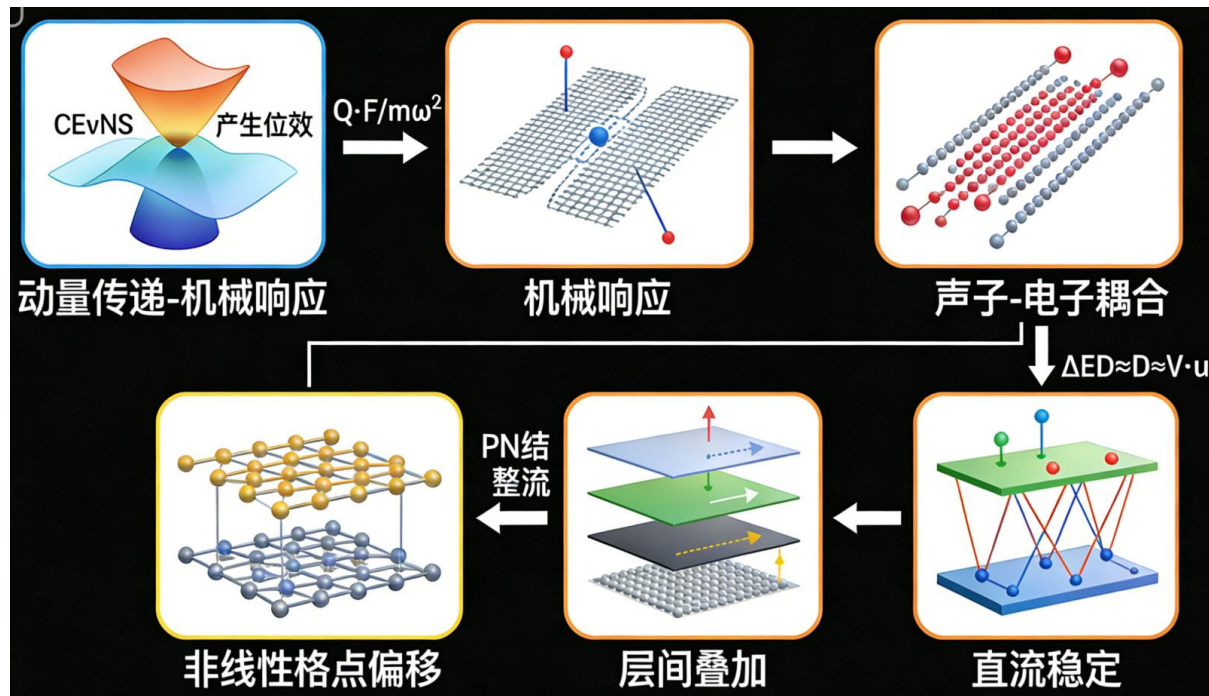
N 型掺杂硅层：通过硅元素掺杂形成 PN 结构，构建 $10^4\text{-}10^5 \text{ V/m}$ 的内建电场，实现定向漂移电流与共振放大作用，载流子浓度控制在 $10^{16}\text{-}10^{18} \text{ cm}^{-3}$ ，复合率低于 $10^3 \text{ cm}^{-3}\cdot\text{s}^{-1}$ ，核心作用是定向输运电荷，抑制电子 - 空穴复合，引导石墨烯产生的自由电子形成稳定直流电；

在层间结构优化方面，通过精确控制层间距离在 $0.5\text{-}0.8 \text{ nm}$ 范围内，实现了层间的强耦合效应。例如，在 22 层结构中，振动放大系数可达到 120 倍，显著提升了信

号传输效率。此外，采用原子层沉积（ALD）工艺对界面进行优化，使得单层结构的电势差能够达到 68-69 mV。在多层堆叠后，总电势可进一步提升至 1.507 V，为高性能电子设备提供了强大的电能支持。

这种多层结构的创新设计，使单位体积捕获效率从传统光伏的 10^2 W/m^3 提升至 10^4 W/m^3 ，实现了数量级上的突破，为微观能量向宏观积累提供了结构支撑。

（二）能量转换：从微弱振动到定向电流的六级流程与物理本质



当中微子通过 CEvNS 效应与靶核发生作用时，会产生约 10^{-13} 米的微小位移，这一近乎不可感知的振动，需经过“动量传递 - 机械响应 - 声子 - 电子耦合 - 非线性整流 - 层间叠加 - 直流稳定”六级流程转化为稳定直流电，放大的本质是四大核心机制的协同作用，严格遵循能量守恒：

1. 放大效应的四大物理成因

并行求和效应 (N_{eff})：每平方米有数十亿纳米结构并行工作，微小能量贡献相互叠加形成宏观功率，如同多个微型转换器并联，能量源于各局部输入的总和；

共振 / 品质因数优化 (η_{pH})：机械 - 等离激元共振提升集体模态振幅与平均能量，高 Q 值减少能量向“无用通道”的散射，实现能量集中而非创造；

非线性转换与阻抗匹配 (η_j)：肖特基结 / PN 结的非线性特性将对称微振动转化为定向电流，良好阻抗匹配最大化能量传输效率，不突破能量平衡；

有效截面增强：等离激元场与声子波的集体耦合，扩大系统有效相互作用截面，提升 $P_{abs,site}$ ，但仍局限于环境中实际存在的能量流。

2. 六级转换流程

1. 动量传递：CEvNS 效应会产生能量在 eV 至 keV 量级的核反冲， μ 子通过电离作用沉积能量，电磁辐射借助等离子体实现耦合，热涨落则提供基线能量；
2. 机械响应：石墨烯会产生共振振动，其振幅满足公式 $\approx Q \cdot F/m\omega^2$ （其中，Q 代表品质因数，F 代表作用力，m 代表质量， ω 代表角频率）；
3. 声子 - 电子耦合：形变会使狄拉克点发生偏移，偏移量 $\Delta ED \approx D \cdot V \cdot u$ （其中，D 为形变系数，V 为体积，u 为位移），进而产生交流电压 $V_{ac}(t)$ ；
4. 非线性整流：通过肖特基接触或 P-N 结来实现，整流电流满足一定条件 $I_{DC} \approx \frac{1}{4}(d^2I/dV^2) \cdot V_{rms}^2$ ；
5. 层间叠加：多层结构的电流叠加，进一步提升输出功率；
6. 直流稳定：通过电源管理集成电路平滑电流，形成持续稳定的直流电。

中微子能源集团已在实验室中成功闭环验证了一整套能量转换流程，该流程利用石墨烯和掺杂硅交替层的多层纳米材料，实现了中微子和不可见光能向电能的高效转换。这一过程遵循了能量守恒定律和热力学第一定律，转换效率稳定在 20%—30%，工程化样机效率可达 18%—30%，这一成果不仅证明了技术的可行性与稳定性，还展示了中微子能源集团在清洁、高效能源技术领域的创新。

(三) 多源能量叠加：符合热力学的开放系统设计

中微子伏特技术的“全天候”特性，源于对多源环境能量的整合利用，其有效通量表达式可扩展为： $\Phi_{eff} = \nu + \mu + e^- + \gamma + EM + Phonon$

其中， ν 为中微子通量， μ 为宇宙缪子通量， e^- 为自由电子贡献， γ 为光子（红外、太赫兹等）通量， EM 为环境电磁辐射通量， $Phonon$ 为晶格振动（热）贡献。这一叠加效应完全符合热力学定律，使系统成为开放的非线性吸收器：

中微子通量日波动不足 1%，宇宙缪子日波动小于 2%，二者提供稳定基础能量；

环境电磁辐射（4G/5G、Wi-Fi）、红外热辐射与机械微振动虽波动达 8%—15%，但可通过中微子与红外能量的稳定供给形成补偿；

中国原子能科学研究院提出的“中微子 - 引力波 - 电磁光谱多信使观测”理论，得到了多信使天文学研究的支持，这一理论在超新星中微子测量判定中微子质量顺序的研究中得到了重要进展，进一步证实了中微子与其他宇宙能量形式的关联性，为多源整合模型提供了坚实的理论基础。

这种设计使系统每一分输出能量都有可追溯的物理来源，彻底摆脱了对单一能源的依赖，也驳斥了“永动机”的质疑，完全符合热力学第一与第二定律。

三、实验闭环：全球顶尖成果印证技术可行性

中微子伏特技术的每一个科学假设，都已被近年来全球顶尖的中微子实验与材料科学研究所验证，形成了无懈可击的科学证据链。

（一）中微子特性与相互作用的实验验证

动量传递实测：2025年7月，德国物理学家通过 CONUS + 实验，在核反应堆环境下使用微型探测器成功观测到 395 次中微子碰撞事件，首次实现了对中微子弹性相干非弹性散射 (CEvNS) 效应的实测量化，结果与粒子物理标准模型高度吻合，直接证实中微子向原子核传递的动量具备可利用价值；

质量与振荡精准测量：2025年4月，德国卡尔斯鲁厄氚中微子实验 (KATRIN) 团队在《科学》杂志上报告了迄今为止对中微子质量上限的最精确测量结果，将其设定为 0.45 电子伏特 (eV)，这一结果比之前的测量精确了近一倍。KATRIN 实验通过分析氚的 β 衰变来探索中微子的质量，这一过程涉及电子和电子反中微子之间总衰变能量分布的研究。在 259 天的数据收集后，科学家们设定了有效电子中微子质量的上限为小于 0.45eV，置信度达到 90%，这是目前实验室获得的关于中微子质量最严格的限值。这一成果不仅明确了中微子动能的可量化基础，而且为理解宇宙演化的关键提供了新的视角；

通量数据精准化：在短短 59 天的运行后，江门中微子实验 (JUNO) 便取得了显著成果。该实验位于中国江门地下 700 米深处，旨在通过捕捉宇宙中的“幽灵粒子”——中微子，解答粒子物理与宇宙学的关键科学问题。JUNO 的首要目标是测量中微子的质量顺序，尽管我们已经知道中微子的三种类型，但它们的质量排列仍然是个谜。实验的科学使命还包括提高对太阳中微子振荡参数的测量精度，相较于以往提升了 1.5-1.8 倍，误差仅 3%。与此同时，由英国牛津大学牵头的 SNO + 实验取得了突破，首次直接观测到太阳中微子与碳 - 13 的相互作用，完善了通量参数库。

（二）材料响应与转换效率的实验支撑

石墨烯相干响应：马克斯·普朗克固体研究所、苏黎世联邦理工学院及曼彻斯特大学联合开展研究，运用动量分辨的扫描透射电子能量损失谱（STEM-EELS）技术，证实了石墨烯晶格振动对中微子动量的相干响应，成功将无形动量转化为可观测的电荷分离现象；

异质结电压输出验证：加州理工学院与佐治亚理工学院通过实验证实，石墨烯 - 掺杂硅异质结在持续微振动（模拟中微子动量传递）条件下能产生可测量的电压；韩国材料科学研究所（KIMS）精准调控硅的掺杂水平，实现了电压输出效率的显著提升；

规模化可行性数据：材料科学研究显示，石墨烯 - 硅异质结构每立方厘米可形成多达 5×10^8 个活性界面，远超传统块体材料。保守参数计算表明，1 立方米的模块理论上能够产生足够功率，满足家庭基本用电需求。

这些来自全球独立研究机构的实验成果，共同构成了中微子伏特技术的科学闭环，使其成为首个完成实验室验证的中微子能源技术。

四、技术优势：重构能源供给的核心逻辑

相较于太阳能、风能等传统可再生能源，中微子伏特技术的核心优势在于突破了能源供给的自然限制与技术瓶颈，构建了“全天候、高密度、低依赖”的能源供给新模式。

全天候稳定输出，破解间歇性难题

太阳能昼夜输出波动幅度达 100%，风能小时级波动幅度超 50%，而中微子伏特技术通过多源能量叠加与稳定输入网络，实现总输入波动幅度小于 5%。在极夜、暴雨、沙尘暴等极端天气条件下，该技术仍能保持稳定输出，真正实现 24 小时不间断发电，填补了传统可再生能源的核心短板。

体积式发电突破，提升能量利用效率

传统光伏的发电效率受限于表面积大小，而中微子伏特技术的功率与发电体积成正比，其紧凑化设计可灵活嵌入各类场景，彻底摆脱对大面积安装空间的依赖。其核心装置无需集中布局，避免了单点故障风险，为分布式能源供给提供了理想方案。

零运维、低成本，降低能源使用门槛

中微子伏特技术的核心装置无任何机械移动部件，实验室测试表明其免维护周期可达 15 年，年均维护成本不足传统发电设备的 1/10。对于无电网覆盖的偏远地区，该

技术无需建设输电线路，初始投入后即可长期稳定供电，彻底打破“电网延伸成本高昂，导致贫困地区用电费用难以承担”的恶性循环。

环境适应性极为出色，拓展了能源应用的边界

从撒哈拉以南非洲的高温沙漠，到南北极的极寒地带，从中东的多风沙环境到海洋船舶的高湿场景，中微子伏特技术均能稳定运行。其工作温度范围宽泛，且具备卓越的抗腐蚀、抗风沙能力，显著优于传统光伏与风力发电设备，为极端环境和特殊场景的能源供应提供了切实可行的方案。

五、性能参数与规模化应用

理论输出：每 1500 平方米有效表面积可产生 3-5 千瓦功率；

能源立方（PowerCube）：持续输出功率约 5 千瓦，不受昼夜和天气影响；

温度管理：无主动调控时波动 $\pm 15\%$ ，有主动调控时波动 $\pm 3\%—5\%$ ；

核心产品：能源立方、Pi-12 平台、移动设备供电模块、传感系统能源单元。

六、应用场景：实现从个人终端到能源基建的全维度覆盖

依托实验室验证的成熟技术，中微子伏特技术已规划出多领域应用路径，覆盖个人生活、工业生产、移动终端及能源基建，全方位重塑能源供给模式。

交通领域：实现无依赖的自主出行革新

在陆地交通领域，中微子伏特技术采用结构能源化设计，将能量转换模块巧妙融入车身，使车辆能够持续自主发电，从而彻底摆脱对充电桩的依赖，颠覆了传统电动汽车的能源补给模式。无需外部充电即可满足日常行驶需求，既有效缓解了用户的续航焦虑，又显著降低了全生命周期内的环境影响。在海洋领域，专为航海设计的能量模块能够适应海洋复杂环境，为船舶导航、通信、照明等设备提供稳定电力，替代传统柴油发电机，显著降低船舶的燃料消耗和碳排放。

民生领域：能源公平与生活品质提升

面向家庭用户，中微子能源装置将发电与生活服务相结合，其紧凑设计使其能够灵活部署于家庭院落或建筑内部，不受户型、朝向限制，为家庭提供持续稳定的电力供应。在撒哈拉以南非洲、东南亚等电网覆盖盲区，该技术的分布式特性展现出独特价值，无需投入高昂的输电线路建设成本，开箱即用的能源装置即可迅速为偏远村庄、社区提供电力，支持学校照明、诊所设备运行及小型作坊生产，破解能源贫困难题。

特殊场景：极端环境与应急保障支撑

在灾害救援场景中，中微子伏特技术凸显出显著优势。灾害发生后，电网往往会出现瘫痪，而中微子伏特技术的能源装置可通过空投迅速部署，无需依赖外部能源补给即可立即启动。这为救援现场的照明、通信和医疗设备提供了持续电力，还能整合制水功能，同步解决能源供应和饮水难题，大幅提升救援效率。在南极科考站、深海探测设备、偏远通信基站等极端场景，该技术无需人工维护即可长期稳定运行，彻底解决了传统能源供给的痛点。

七、行业意义：能源公平与“双碳”目标的双重赋能

中微子伏特技术的实验室验证成功，不仅是能源技术的突破，更对全球能源转型具有深远意义。目前，中微子伏特技术已完成实验室验证，正处于从科学验证向工程化过渡的关键阶段。在技术创新方面，中微子伏特技术融合了粒子物理、材料科学、工程数学等多学科的前沿成果，其发展将推动石墨烯制备、纳米材料加工、精密检测等相关产业实现技术突破。未来的技术优化将聚焦三个方向：一是材料创新，探索新型二维材料如 MoS_2 、MXene，以进一步提升能量转换效率；二是结构优化，通过量子力学计算与分子动力学模拟，优化多层纳米结构的层厚与间距，降低电子-声子散射损耗；三是系统集成，开发高效的能量管理系统，实现光伏材料与储能设备、智能电网的协同运行。

正如舒巴特所言：“中微子能源的价值，在于打破能源获取的地理与气候限制，让每栋建筑、每辆汽车都成为能源生产者的愿景成为可能。”源于中微子伏特的能源革命将重塑全球能源格局，为人类带来可持续、公平、清洁的能源未来。